

状態方程式の数値計算とグラフ化 — 第3報 —

笹 村 泰 昭*・森 田 修 吾**

Graphical representation of the numerical calculation results for the equations of state — Part III —

Yasuaki SASAMURA and Shûgo MORITA

要旨

四種の状態方程式（ファン・デル・ワールス式、ビーチー・ブリッジマン式、ベネディクト・ウェップ・ルーピン式、レドリッヒ・コング式）の“圧縮係数の一般化線図”を描き Gouq - Jen Su の実測値に基づくグラフと比較した。グラフによる評価は“ひと目”で式の特徴を把握するうえに有効であった。四種の式のうち実測値を良く表わしているのは定数が 8 つの Benedict - Webb - Rubin の式と定数は 2 つであるが温度依存の頂を含む Redlich - Kwong の式であった。前者は定数が多く式も複雑であるが後者は数値計算のうえからも取扱いやすくすぐれていた。

Synopsis

We studied to draw the graphs of "generalized χ - chart" for the purpose of understanding the results of numerical calculation for the four equations of state, namely, van der Waals, Beattie - Bridgeman, Benedict-Webb-Rubin, and Redlich-Kwong equation.

Redlich-Kwong equation of state was superior to the others which have many more constants.

1. 緒 言

一般に計算値あるいは実験値をグラフに表わすことは結果の理解、把握に非常に有効である。既報¹²⁾では四種の状態方程式の数値計算結果のうち「 $v-P$ 等温線図」「 $P-z$ 等温線図」などを描き考察した。本報ではさらに「圧縮係数の一般化線図」(z -chart, P_r-z 線図)を描き Gouq - Jen Su³⁾の実測データとの比較をした。

四種の状態方程式は

van der Waals 式 ($V - D - W$ 式と略記する)

a, b は van der Waals の定数

Beattie - Bridgemen 式 ($B-B$ 式と略記する)

$$P = \frac{RT}{v^2} \left(v + B_0 \left(1 - \frac{b}{v} \right) \right) \left(1 - \frac{c}{vT^3} \right) - \frac{A_0}{v^2}$$

A_0, α, B_0, b, c は Beattie-Bridgemam の定数⁴⁾

Benedict - Webb - Rubin 式 ($B - W - R$ 式と略記する)

$$P = \frac{RT}{v} + \frac{B_0 RT - A_0 - c_0/T^2}{v^2} + \frac{bRT - a}{v^3} + \frac{\alpha\alpha}{v^6} + \frac{C}{v^3 T^2} \left(1 + \frac{r}{v^2}\right) e^{-rv^2} \quad \dots(3)$$

$A_o, B_o, C_o, a, b, c, \alpha, \gamma$ は Benedict - Webb - Rubin の定数⁵⁾

Redlich - Kwong 式 ($R-K$ 式と略記する)

a, b は Redlich Kwong の定数²⁾

である。状態方程式の“圧縮係数の一般化線図”と“実測データーからの図”と比較する方法は Otto ら⁶の $V-D-W$ 式, Berthelot 式, Dieretti 式, Kemp ら⁷の $R-K$ 式の例がある。本報では同様の比較を $B-B$ 式, $B-W-R$ 式にも適

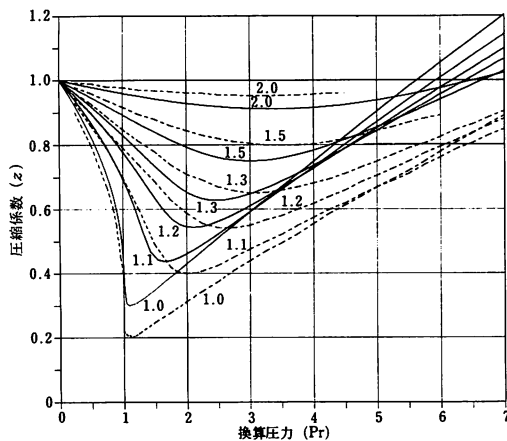


図1 V-D-W式の“圧縮係数の一般化線図”
添字は換算温度 T_r

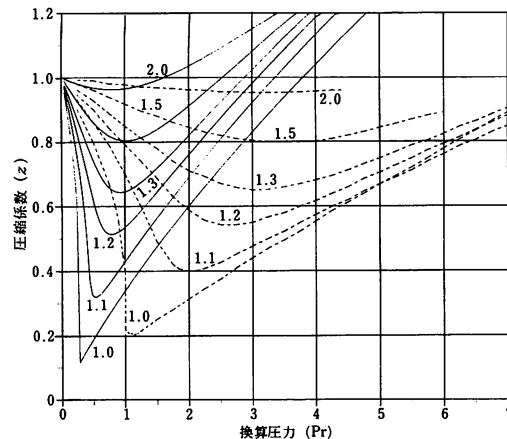


図3 B-B式の“圧縮係数の一般化線図”添字
は換算温度 T_r , プライム定数は Sommerfeld ら¹⁰⁾を引用した

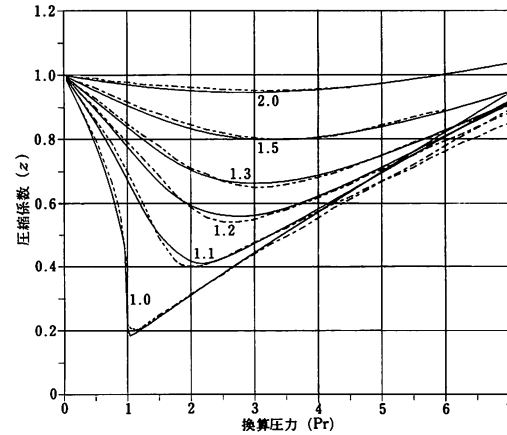


図5 B-W-R式の“圧縮係数の一般化線図”
添字は換算温度 T_r , プライム定数は S_u ら¹²⁾を引用した

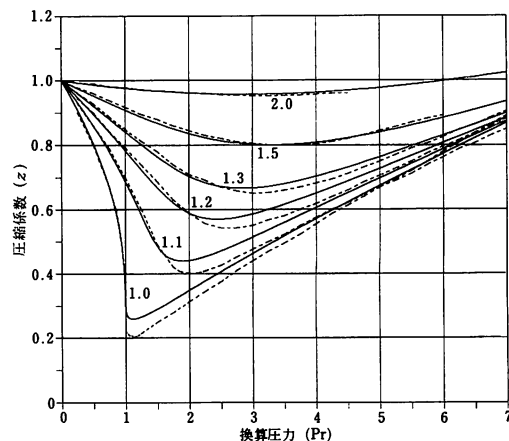


図2 B-B式の“圧縮係数の一般化線図”添字
は換算温度 T_r , プライム定数は S_u ら⁹⁾を
引用した

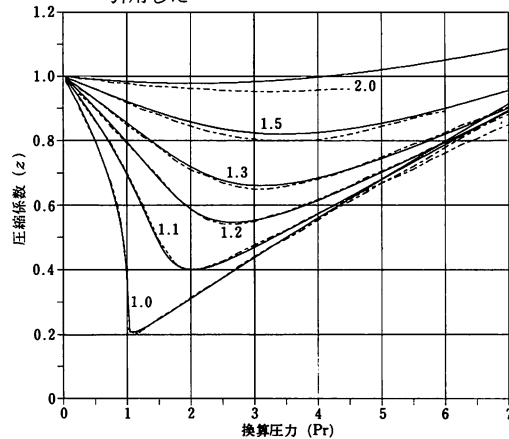


図4 B-W-R式の“圧縮係数の一般化線図”
添字は換算温度 T_r , プライム定数は Joffe¹¹⁾を
引用した

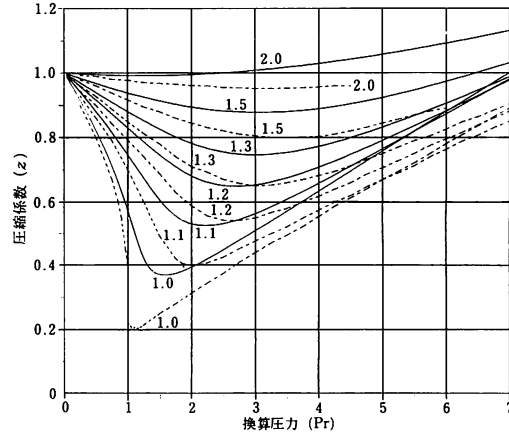


図6 B-W-R式の“圧縮係数の一般化線図”
添字は換算温度 T_r , プライム定数は Co-
oker ら¹³⁾の炭化水素用の値を引用した

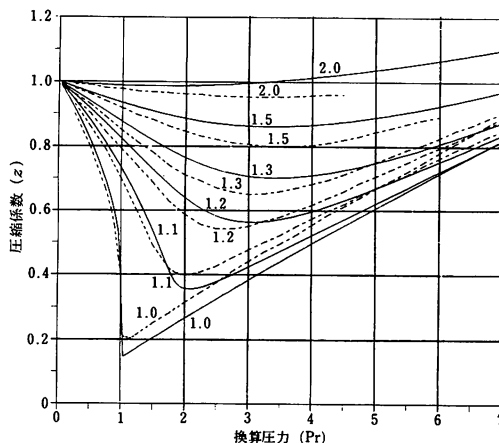


図7 B-W-R式の“圧縮係数の一般化線図”
添字は換算温度 T_r , プライム定数は Cooper ら¹⁹の非炭化水素用の値を引用した

式についてはプライム定数をそれぞれ Gouq - Jen Su ら⁹Joffe¹¹の場合のみ示している。

また計算結果の一部を表に示した。

$$\text{誤差} = \frac{(\text{計算値} - S_u \text{の実測値})}{S_u \text{の実測値}} \times 100 (\%)$$

S_u の実測値³は文献のグラフ (z -chart, P_r-z 線図) より読み取った値である。計算のくりかえしとは反復法, Newton - Raphson 法のそれである。図1～9および表から次のようなことが言える。

- ① $V-D-W$ 式は実在気体の挙動をパターンとして示しているが低温, 高圧側ではそれが大きい(図1)
- ② $B-B$ 式, $B-W-R$ 式はプライム定数によって、その値、曲線が変わるので厳密な意味での“一般化”とは言えないが、それぞれ, Su ら⁹(図2) $B-W-R$ 式について Joffe ら¹¹(図4), Su ら¹²(図5) の定数を使用した場合が実測値を比較的良く示している。特に $B-W-R$ 式の $T_r=1$ での一致は見事である。しかし Joffe ら¹¹の定数を使用した $T_r=2.0$ の場合のそれは大きい。
- ③ $B-W-R$ 式の Cooper ら³の定数は炭化水素用(図6)といえども実測値からのがれが大きく, Su ら³の実測値が元来メタン, エチレンなどの7種の炭化水素の平均値であることからすると理解できない。
- ④ $R-K$ 式は広範囲で実測値と一致していると言える。特に定数が2つであることから数値的取扱いが容易で $V-D-W$ 式に温度依存性を持たせ実測値を良く表すことができる状態方程

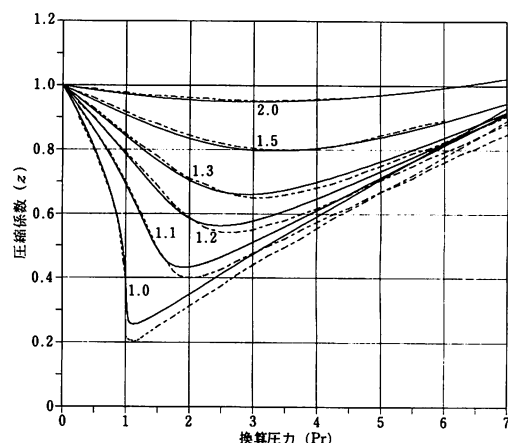


図8 R-K式の“圧縮係数の一般化線図”
添字は換算温度 T_r

式として高く評価される

実測データーにもとづく“一般化線図”は S_u ³の他に Viswanath ら¹⁵Nelson ら¹⁶のもあるが教科書、参考書等に多く使用されている点からあえて S_u のを使用した。

$B-B$ 式の Sommerfeld ら¹⁰の z の4次式の例もグラフ化してみた。(ただし $Z_c=0.270$ の場合) 結果を図10に示した。圧力の小さい範囲では実測値を良く表わしている。

状態方程式の研究は $V-D-W$ 式があらためられて見なをされたり¹⁷ $V-D-W$ 式の第2項目に温度依存性を持たせた $R-K$ 式¹⁸あるいは $R-K$ 式の修正式^{9,20,21}が提出されたりして非常に活発である。さらに Pitzer ら^{22,23}は臨界圧縮係数 Z_c のかわりに第3のパラメーターとしてアセントリックファクター ω を用いる方法を提案し成果をおさめている。ごく最近では極性の効果を表現する第四のパラメーターを用いる式^{24,25}も登場している。

いずれにしても数値計算は複雑な様相を呈し状態方程式の評価、良否の判定は難かしくなっている。本報のようにグラフ化し“実測に基づく一般化線図”との比較によって新しい状態方程式を評価するのもひとつの方法でないかと思われる。

3. まとめ

電算機および付属の X-Y プロッターを使用し状態方程式の“圧縮係数の一般化線図”を描き

- 1) $R-K$ 式が全体的に実測値を示している。
- 2) 臨界点附近 $T_r=1.0$ の場合は Joffe らの定

表 换算圧力と圧縮係数との関係

換算 圧力 P_r	実測値 (圧力係数 z)	V-D-W式			B-B式($S_w^{(n)}$ の定数)			B-W-R式(Joffe ¹¹ の定数)			R-K式			
		z	誤差 の くりかえし	計算の くりかえし	z	誤差 の くりかえし	計算の くりかえし	z	誤差 の くりかえし	計算の くりかえし	z	誤差 の くりかえし	計算の くりかえし	
$T_r = 1.0$	0.25	0.900	0.921	2.3	4	0.910	1.1	2	0.907	0.8	2	0.910	1.1	2
	0.30	0.800	0.827	3.4	7	0.804	0.5	2	0.799	-0.1	2	0.804	0.6	3
	0.75	0.670	0.705	5.3	12	0.667	-0.4	2	0.660	-1.5	2	0.671	0.1	6
	0.85	0.600	0.640	6.6	17	0.592	-1.4	2	0.585	-2.4	2	0.599	-0.1	9
	0.90	0.550	0.598	8.7	22	0.543	-1.3	2	0.538	-2.1	2	0.554	0.7	11
	0.96	0.450	0.530	17.8	34	0.454	0.9	3	0.442	2.6	2	0.478	6.3	18
	1.00	0.400	0.439	9.7	78	0.286	-28.6	9	0.366	-9.1	36	0.364	-9.1	1
	1.00	0.350	0.439	25.4	78	0.286	-18.4	9	0.364	3.9	36	0.364	3.9	1
	1.00	0.250	0.439	75.5	78	0.286	14.3	9	0.364	45.4	36	0.364	45.4	1
	1.00	0.220	0.439	99.5	78	0.286	29.8	9	0.364	65.3	36	0.364	65.2	1
	1.05	0.208	0.307	47.4	93	0.264	26.7	6	0.208	-0.0	16	0.255	22.6	36
	1.10	0.206	0.302	46.7	64	0.260	26.1	5	0.207	0.4	15	0.252	22.4	29
	1.15	0.203	0.304	49.8	51	0.260	28.2	5	0.210	3.2	15	0.253	24.8	25
	1.20	0.208	0.308	48.3	44	0.263	26.3	5	0.214	2.8	15	0.256	23.2	22
	1.25	0.215	0.314	46.0	39	0.266	23.8	5	0.219	1.8	15	0.260	21.1	20
	1.50	0.250	0.350	39.9	26	0.291	16.3	5	0.248	-0.8	9	0.287	14.9	15
	1.75	0.280	0.389	39.0	21	0.319	14.0	5	0.279	-0.3	7	0.317	13.3	12
	2.00	0.314	0.430	36.9	18	0.348	10.9	6	0.311	-0.9	6	0.348	11.0	11
	2.25	0.345	0.471	36.5	15	0.377	9.4	6	0.343	-0.6	5	0.380	10.0	10
	2.50	0.375	0.512	36.4	14	0.406	8.3	6	0.375	-0.1	4	0.411	9.5	9
	2.75	0.410	0.552	34.6	13	0.435	6.0	6	0.406	-0.9	4	0.441	7.6	8
	3.00	0.440	0.592	34.6	12	0.463	5.2	6	0.437	-0.6	4	0.472	7.2	8
	3.25	0.470	0.632	34.5	11	0.490	4.4	6	0.469	-0.3	3	0.502	6.8	7
	3.50	0.495	0.672	35.8	10	0.518	4.6	7	0.500	0.9	3	0.532	7.5	7
	3.75	0.523	0.712	36.0	9	0.545	4.2	7	0.530	1.4	3	0.562	7.4	7
	4.00	0.555	0.750	35.2	9	0.571	3.0	7	0.561	1.0	3	0.591	6.5	6
	4.25	0.587	0.790	34.5	8	0.598	1.8	7	0.591	0.7	2	0.620	5.7	6
	4.50	0.613	0.828	35.1	8	0.624	1.8	7	0.621	1.3	2	0.649	5.9	6
	4.75	0.640	0.867	35.4	7	0.649	1.5	7	0.651	1.7	2	0.678	6.0	6
	5.00	0.670	0.905	35.0	7	0.675	0.7	7	0.681	1.6	2	0.707	5.5	5
	5.25	0.695	0.943	35.7	6	0.700	0.7	8	0.710	2.2	2	0.735	5.8	5
	5.50	0.721	0.981	36.1	4	0.725	0.5	8	0.740	2.6	3	0.763	5.9	5
	5.75	0.750	1.018	35.7	4	0.749	-0.1	8	0.769	2.6	3	0.791	5.5	5
	6.00	0.780	1.055	35.3	5	0.774	-0.8	8	0.798	2.4	3	0.819	5.0	4
	6.25	0.808	1.093	35.2	6	0.798	-1.3	8	0.828	2.4	3	0.847	4.8	4
	6.50	0.835	1.130	35.3	6	0.822	-1.6	9	0.856	2.6	3	0.874	4.7	4
	6.75	0.864	1.167	35.1	6	0.845	-2.2	9	0.885	2.5	3	0.902	4.4	4
	7.00	0.892	1.204	35.0	6	0.869	-2.6	9	0.914	2.5	3	0.929	4.2	4
$T_r = 1.1$	0.25	0.930	0.938	0.9	4	0.933	0.3	2	0.935	0.5	2	0.933	0.3	2
	0.50	0.860	0.870	1.1	6	0.860	0.1	2	0.863	0.4	2	0.861	0.1	2
	0.75	0.790	0.791	0.1	8	0.780	-1.3	2	0.784	-0.7	2	0.782	-1.1	3
	1.00	0.700	0.695	-0.8	13	0.687	-1.8	2	0.695	-0.8	2	0.692	-1.1	3
	1.25	0.600	0.567	-5.5	26	0.582	-3.0	2	0.591	-1.5	2	0.589	-1.8	3
	1.50	0.490	0.450	-8.2	37	0.484	-1.2	3	0.484	-1.3	2	0.484	-1.3	1
	1.75	0.420	0.440	4.9	28	0.443	5.5	2	0.417	-0.6	3	0.432	2.9	12
	1.85	0.406	0.447	10.2	25	0.440	8.3	2	0.406	0.0	3	0.428	5.5	14
	2.00	0.400	0.462	15.5	22	0.441	10.2	3	0.400	-0.0	4	0.430	7.5	14
	2.25	0.408	0.491	20.4	19	0.453	11.0	3	0.402	0.0	4	0.437	8.6	13
	2.50	0.426	0.524	23.0	16	0.471	10.5	3	0.423	-0.6	4	0.443	8.5	12
	2.75	0.452	0.558	23.4	15	0.492	8.7	4	0.445	-1.5	4	0.462	8.6	11
	3.00	0.476	0.593	24.5	13	0.514	7.9	4	0.469	-1.4	4	0.485	7.3	10
	3.25	0.500	0.628	25.5	12	0.536	7.3	4	0.495	-1.1	4	0.509	6.9	9
	3.50	0.522	0.663	27.0	11	0.559	7.2	4	0.521	-0.3	4	0.534	6.7	9
	3.75	0.550	0.698	26.8	11	0.583	5.9	4	0.547	-0.5	4	0.559	7.1	8
	4.00	0.575	0.733	27.5	10	0.606	5.4	4	0.574	-0.2	3	0.610	6.1	7
	4.25	0.600	0.768	28.0	9	0.629	4.9	5	0.601	0.1	3	0.636	5.9	7
	4.50	0.620	0.803	29.5	9	0.652	5.2	5	0.628	1.2	3	0.661	6.7	7
	4.75	0.647	0.838	29.5	8	0.675	4.4	5	0.654	1.1	3	0.687	6.1	6
	5.00	0.670	0.873	30.2	7	0.698	4.2	5	0.681	1.7	3	0.712	6.3	6
	5.25	0.690	0.907	31.4	7	0.721	4.5	5	0.708	2.6	3	0.738	6.9	6
	5.50	0.712	0.941	32.2	6	0.743	4.4	5	0.735	3.2	2	0.763	7.2	6
	5.75	0.740	0.976	31.8	5	0.766	3.5	5	0.762	2.9	2	0.788	6.5	5
	6.00	0.763	1.009	32.2	3	0.788	3.3	5	0.788	3.3	1	0.813	6.6	5
	6.25	0.788	1.043	32.3	5	0.810	2.8	5	0.815	3.4	2	0.838	6.4	5
	6.50	0.806	1.077	33.6	6	0.832	3.2	6	0.841	4.4	2	0.863	7.1	5
	6.75	0.830	1.111	33.8	6	0.853	2.8	6	0.867	4.5	3	0.888	7.0	5
	7.00	0.850	1.144	34.6	6	0.875	2.9	6	0.894	5.1	3	0.913	7.4	4
$T_r = 1.2$	0.25	0.945	0.951	0.7	3	0.949	0.5	1	0.952	0.8	2	0.949	0.5	2
	0.50	0.900	0.899	-0.1	5	0.896	-0.4	1	0.902	0.3	2	0.897	-0.4	3
	0.75	0.842	0.841	-0.1	7	0.841	-0.1	1	0.850	1.0	2	0.842	0.0	3
	1.00	0.792	0.779	-1.7	9	0.784	-1.1	2	0.796	0.4	2	0.786	-0.8	4
	1.25	0.740	0.709	-4.1	13	0.725	-2.0	2	0.739	-0.1	2	0.728	-1.6	5
	1.50	0.687	0.635	-7.4	18	0.665	-2.6	2	0.683	-0.6	2	0.672	-2.2	6
	1.75	0.630	0.574	-8.9	23	0.621	-1.4	3	0.631	0.1	2	0.622	-1.2	6
	2.00	0.588	0.545	-7.2	23	0.588	0.1	3	0.589	0.2	1	0.586	-0.5	4
	2.25	0.556	0.547	-1.7	21	0.572	3.0	2	0.562	1.1	2	0.564	1.4	3
	2.50	0.542	0.585	7.9	16	0.575	6.1	2	0.547	0.9	3	0.559	3.2	7
	3.00	0.550	0.611	11.1	15	0.585	6.4	2	0.553	0.6	3	0.564	4.1	8
	3.25	0.567	0.639	12.7	13	0.599	5.7	3	0.564	-0.5	3	0.575	4.6	8
	3.50	0.580	0.669	15.3	12	0.615	6.1	3	0.579	-0.1	3	0.590	4.1	8
	3.75	0.600	0.699	16.4	12	0.633	5.5	3	0.597	-0.5	3	0.608	4.8	8
	4.00	0.618	0.729	17.9	11	0.651	5.3	3	0.616	-0.3	3	0.647	4.6	7
	4.25	0.640	0.760	18.7	10	0.670	4.7	3	0.637	-0.5	3	0.667	4.3	7
	4.50	0.660	0.791	19.8	9	0.689	4.4	4	0.658	-0.3	3	0.689	4.3	7
	4.75	0.686	0.822	19.8	9	0.709	3.3	4	0.680	-0.8	3	0.710	3.5	6
	5.00	0.706	0.853	20.8	8	0.728	3.1	4	0.703	-0.4	3	0.732	3.7	6
	5.25	0.728	0.884	21.4	8	0.748	2.7	4	0.726	-0.3	3	0.754	3.6	6
	5.50	0.750	0.915	22.0	7	0.768								

表 換算圧力と圧縮係数との関係

	換算 圧力 P_r	実測値 (圧力係数 z)	V-D-W式			B-B式(S_w の定数)			B-W-R式(Joffe ¹¹ の定数)			R-K式		
			z	誤差	計算の くりかえし	z	誤差	計算の くりかえし	z	誤差	計算の くりかえし	z	誤差	計算の くりかえし
$T_r = 1.3$	6.00	0.795	0.977	22.9	5	0.807	1.5	4	0.796	0.1	2	0.820	3.2	5
	6.25	0.815	1.007	23.6	3	0.827	1.4	4	0.819	0.5	2	0.843	3.4	5
	6.50	0.838	1.039	23.9	5	0.846	1.0	4	0.843	0.6	2	0.865	3.2	5
	6.75	0.860	1.069	24.3	6	0.866	0.7	4	0.866	0.7	1	0.887	3.2	5
	7.00	0.882	1.100	24.7	6	0.885	0.4	5	0.890	0.9	2	0.909	3.1	5
	0.25	0.979	0.974	-0.5	3	0.976	-0.3	1	0.979	0.0	2	0.976	-0.3	2
	0.50	0.960	0.947	-1.3	4	0.953	-0.8	2	0.959	0.1	2	0.952	-0.8	2
	0.75	0.938	0.920	-1.9	5	0.930	-0.9	2	0.940	0.2	2	0.929	-0.9	3
	1.00	0.917	0.893	-2.6	5	0.908	-1.0	2	0.921	0.4	2	0.908	-1.0	3
	1.25	0.895	0.867	-3.2	6	0.887	-0.9	2	0.903	0.9	2	0.887	-0.9	4
$T_r = 1.3$	1.50	0.880	0.841	-4.5	7	0.868	-1.4	2	0.886	0.7	2	0.867	-1.4	4
	1.75	0.860	0.816	-5.1	9	0.851	-1.1	2	0.871	1.3	2	0.850	-1.2	5
	2.00	0.845	0.794	-6.0	10	0.836	-1.1	2	0.858	1.5	2	0.834	-1.0	5
	2.25	0.830	0.776	-6.6	11	0.823	-0.8	2	0.846	1.9	2	0.822	-1.0	5
	2.50	0.820	0.762	-7.0	11	0.813	-0.8	2	0.836	2.0	2	0.811	-1.0	5
	2.75	0.810	0.754	-6.9	12	0.806	-0.5	2	0.829	2.3	2	0.804	-0.8	6
	3.00	0.805	0.751	-6.7	12	0.802	-0.4	2	0.824	2.3	2	0.799	-0.8	6
	3.25	0.800	0.754	-5.8	12	0.800	0.0	2	0.821	2.6	2	0.797	-0.4	6
	3.50	0.800	0.760	-4.9	12	0.801	0.1	2	0.821	2.6	2	0.797	-0.4	6
	3.75	0.800	0.771	-3.6	11	0.804	0.4	2	0.822	2.7	2	0.800	-0.0	6
	4.00	0.803	0.784	-2.3	11	0.808	0.6	2	0.825	2.8	2	0.804	-0.2	6
	4.25	0.810	0.800	-1.2	10	0.814	0.5	2	0.830	2.5	2	0.811	-0.1	5
	4.50	0.820	0.817	-0.3	10	0.822	0.2	2	0.837	2.1	2	0.819	-0.1	5
	4.75	0.831	0.836	0.6	9	0.830	-0.1	2	0.845	1.7	2	0.828	-0.4	5
	5.00	0.845	0.855	1.2	9	0.840	-0.6	2	0.854	1.1	2	0.838	-0.8	5
	5.25	0.856	0.876	2.3	8	0.850	-0.7	2	0.864	1.0	2	0.849	-0.8	5
	5.50	0.870	0.897	3.1	8	0.861	-1.0	2	0.875	0.6	2	0.861	-1.0	5
	5.75	0.882	0.919	4.2	7	0.872	-1.1	2	0.887	0.6	2	0.874	-0.9	4
	6.00	0.892	0.940	5.4	7	0.884	-0.9	3	0.900	0.9	2	0.888	-0.5	4
$T_r = 1.5$	0.25	0.961	0.961	-0.0	3	0.961	-0.0	1	0.964	0.4	2	0.961	-0.0	2
	0.50	0.928	0.920	-0.9	4	0.921	-0.7	1	0.928	0.0	2	0.921	-0.7	3
	0.75	0.888	0.875	-1.3	6	0.881	-0.8	2	0.892	0.4	2	0.882	-0.7	3
	1.00	0.848	0.831	-2.0	7	0.841	-0.8	2	0.855	0.8	2	0.842	-0.7	4
	1.25	0.812	0.784	-3.5	9	0.802	-1.2	2	0.818	0.7	2	0.803	-1.1	5
	1.50	0.780	0.736	-5.7	12	0.765	-1.9	2	0.783	0.3	2	0.767	-1.7	5
	1.75	0.740	0.691	-6.6	14	0.732	-1.1	2	0.749	1.3	2	0.733	-1.0	6
	2.00	0.710	0.654	-7.8	17	0.705	-0.8	3	0.720	1.4	2	0.705	-0.8	6
	2.25	0.692	0.633	-8.5	18	0.685	-1.1	3	0.696	0.6	2	0.683	-1.3	6
	2.50	0.670	0.629	-6.2	17	0.672	0.3	3	0.678	1.2	2	0.669	-0.2	6
	2.75	0.658	0.635	-3.6	16	0.667	1.4	2	0.667	1.4	1	0.662	0.6	4
	3.00	0.650	0.645	-0.2	15	0.667	2.7	2	0.662	1.8	2	0.661	1.8	1
	3.25	0.652	0.667	2.3	14	0.672	3.1	2	0.662	1.5	2	0.664	1.9	3
	3.50	0.660	0.689	4.4	13	0.681	3.1	2	0.667	1.0	2	0.672	1.9	4
	3.75	0.670	0.713	6.4	12	0.691	3.2	2	0.674	0.7	3	0.684	2.1	5
	4.00	0.682	0.733	8.2	11	0.704	3.2	2	0.685	0.5	3	0.697	2.2	5
	4.25	0.695	0.764	9.9	11	0.717	3.2	3	0.698	0.4	3	0.712	2.5	6
	4.50	0.712	0.790	11.0	10	0.732	2.8	3	0.713	0.1	3	0.728	2.3	6
	4.75	0.732	0.818	11.7	9	0.748	2.1	3	0.728	-0.5	3	0.745	1.8	6
	5.00	0.750	0.845	12.7	9	0.764	1.8	3	0.745	-0.6	3	0.762	1.7	5
$T_r = 1.5$	5.25	0.770	0.873	15.3	8	0.780	1.3	3	0.763	-0.9	3	0.781	1.4	5
	5.50	0.790	0.901	14.0	7	0.797	0.8	3	0.782	-1.0	3	0.799	1.2	5
	5.75	0.805	0.928	15.3	7	0.813	1.0	3	0.801	-0.5	2	0.818	1.6	5
	6.00	0.825	0.956	15.9	6	0.830	0.7	4	0.821	-0.5	2	0.837	1.5	5
	6.25	0.848	0.985	16.1	4	0.847	-0.1	4	0.840	-0.9	2	0.857	1.0	5
	6.50	0.864	1.011	17.1	4	0.865	0.1	4	0.861	-0.4	2	0.876	1.4	4
	6.75	0.885	1.039	17.4	5	0.882	-0.4	4	0.881	-0.5	2	0.895	1.2	4
	7.00	0.905	1.067	18.0	6	0.899	-0.7	4	0.902	-0.4	2	0.915	1.1	4
$T_r = 2.0$	0.25	0.992	0.989	-0.3	2	0.993	0.1	1	0.995	0.3	2	0.992	0.0	2
	0.50	0.990	0.979	-1.1	3	0.987	-0.3	2	0.990	0.0	2	0.985	-0.5	2
	0.75	0.980	0.969	-1.1	3	0.981	0.1	2	0.987	0.7	2	0.978	-0.2	3
	1.00	0.978	0.960	-1.9	4	0.976	-0.2	2	0.983	0.6	2	0.972	-0.6	3
	1.25	0.970	0.951	-2.0	4	0.971	0.1	2	0.981	1.1	2	0.967	-0.3	3
	1.50	0.968	0.943	-2.6	4	0.967	-0.1	2	0.979	1.1	2	0.962	-0.6	3
	1.75	0.965	0.935	-3.1	5	0.964	-0.1	2	0.978	1.3	2	0.958	-0.7	3
	2.00	0.961	0.929	-3.4	5	0.961	0.0	2	0.978	1.7	2	0.955	-0.6	3
	2.25	0.960	0.923	-3.8	5	0.959	-0.1	2	0.978	1.9	2	0.952	-0.8	4
	2.50	0.955	0.918	-3.9	6	0.958	0.3	2	0.979	2.5	2	0.950	-0.5	4
	2.75	0.954	0.915	-4.1	6	0.957	0.3	2	0.980	2.8	2	0.949	-0.5	4
	3.00	0.952	0.912	-4.2	6	0.957	0.5	2	0.983	3.2	2	0.949	-0.3	4
	3.25	0.952	0.911	-4.3	6	0.957	0.6	2	0.985	3.5	2	0.949	-0.3	4
	3.50	0.953	0.911	-4.4	7	0.959	0.6	2	0.989	3.8	3	0.950	-0.3	4
	3.75	0.954	0.913	-4.3	7	0.960	0.7	2	0.993	4.1	3	0.952	-0.2	4
	4.00	0.957	0.915	-4.4	7	0.963	0.6	2	0.998	4.3	3	0.954	-0.3	5
	4.25	0.960	0.919	-4.2	7	0.965	0.6	2	1.003	4.5	3	0.957	-0.3	5
	4.50	0.960	0.924	-3.7	7	0.969	0.9	2	1.008	5.0	3	0.961	0.1	5

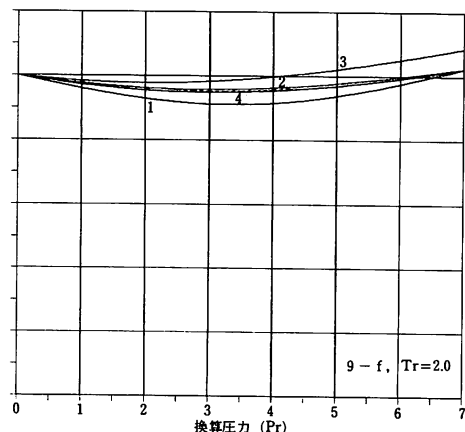
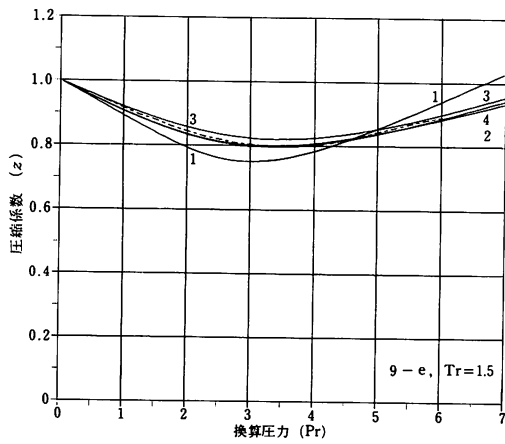
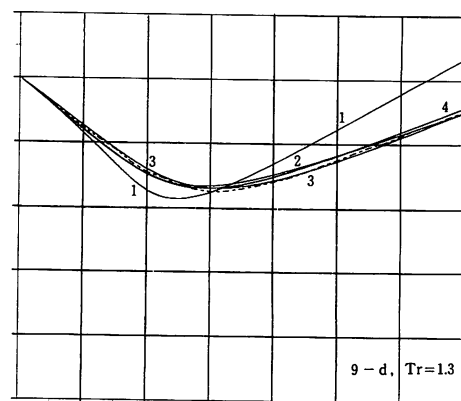
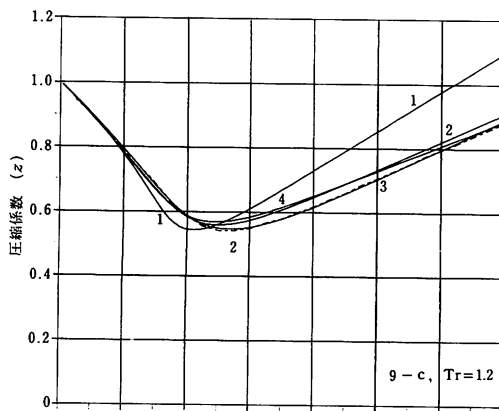
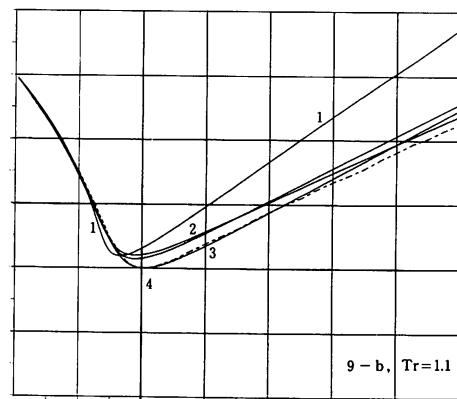
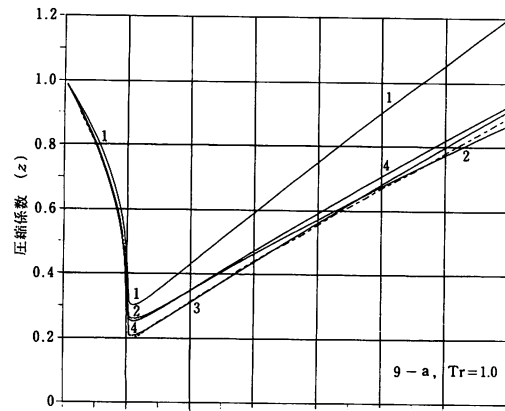


図9 “圧縮係数の一般化線図”
 1 V-D-W式, 2 B-B式
 3 B-W-R式, 4 R-K式

- 4) 日本化学会編「化学便覧基礎編II」丸善, p 493(昭和 41 年)
- 5) 同上, 改訂2版, p 697~698 (昭和 50 年)
- 6) Ott, Goates, Hall Jr., J. Chem. Education, **48**, (8), 515~517 ('71)
- 7) Kemp, Thompson, Zigrang, *ibid*, **52**,(12),802 ('75), なを Missen, *ibid*, **54**,(9),588 ('77) に Kemp らのプライム定数に誤りがあることを指摘している。
- 8) 例えば, Reid, Prausnitz, Sherwood, "The Properties of Gases and Liquids" 3rd Edition., McGraw - Hill, New York p35~36 ('77)
- 9) Su et al, J. A. C. S., **68**, 1080~1083 ('46)
- 10) Sommerfeld et al, Hydrocarbon Processing, **47**, (10), 109~110 ('68)
- 11) Joffe, Chem. Eng. Progr., **45**, 160 ('49)
- 12) Su et al, A. I. Ch. E. Journal, **11**, 205~207 ('65)
- 13) Cooper et al, Hydrocarbon Processing, **46**, (12), 141~146 ('67)
- 14) 賴実, 外岡, 石油化学会誌, **12**, (1), 14~20 ('69)
- 15) Viswanath, Gouq - Jen Su, A. I. Ch. E. Journal, **11**, (2), 202~204 ('65)
- 16) Nelson et al, Trans. ASME, **76**, 1057~1066 ('54) これには 313 の実測値の所在を示す文献がのっており参考になる。なお文献 8) にグラフが記載されている。
- 17) Rigby, Quart. Rev. Chem. Soc., **1970**, 24 (3), 416 ~432
- 18) Redlich, Kwong, Chem. Rev., **44**, 233~244 ('49)
- 19) Soave, Chem. Eng. Sci., **27**, 1197~1203 ('72)
- 20) Peng, Robinson, Ind. Eng. Chem. Fundm., **15**,(1), 59~64 ('76)
- 21) 石川, Lu et al, 化学工学協会第 14 回秋季大会, 研究発表講演要旨集, K 101 p 325~6 ('80)
- 22) Pitzer et al, J. A. C. S., **77**, 3433~40 ('55)
- 23) Curl et al, Ing. Eng. Chem., **50**, 265~74 ('58)
- 24) Nishiumi, Robinson, J. Chem. Eng. Japan, **14**,(4), 259~266 ('81)
- 25) 吉田ら, 21) の第 15 回要旨集, C 216. p 91~92 ('81)

(昭和 56 年 11 月 27 日受理)

